



Adaptacja slajdów do wykładów

Introduction to Robotics (ES159) Advanced Introduction to Robotics (ES259)

autor oryginału: Robert Wood

źródło: www.RoboticsCourseWare.org



Podręczniki

*Polski odpowiednik:
M. Spong, M. Vidyasagar,
„Dynamika i sterowanie
robotów”, WNT, W-wa,
1997*

*Starsza książka
pomocnicza po polsku:
J. Craig, „Wprowadzenie
do robotyki. Mechanika
i sterowanie”, WNT, W-
wa, 1995*

Podstawowy:

M. Spong, S. Hutchinson, and M. Vidyasagar, “Robot Modeling and Control”, Wiley, New York, 2005

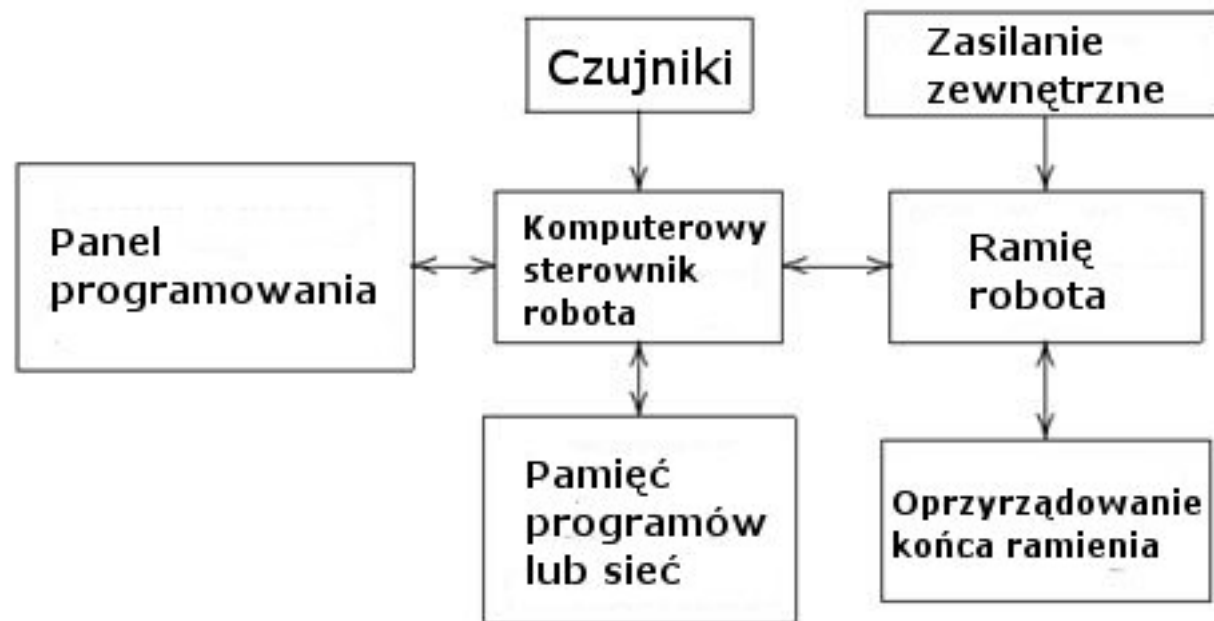
Pomocniczy:

E. Jezierski, „Dynamika robotów”, WNT, Warszawa, 2006



Roboty przemysłowe

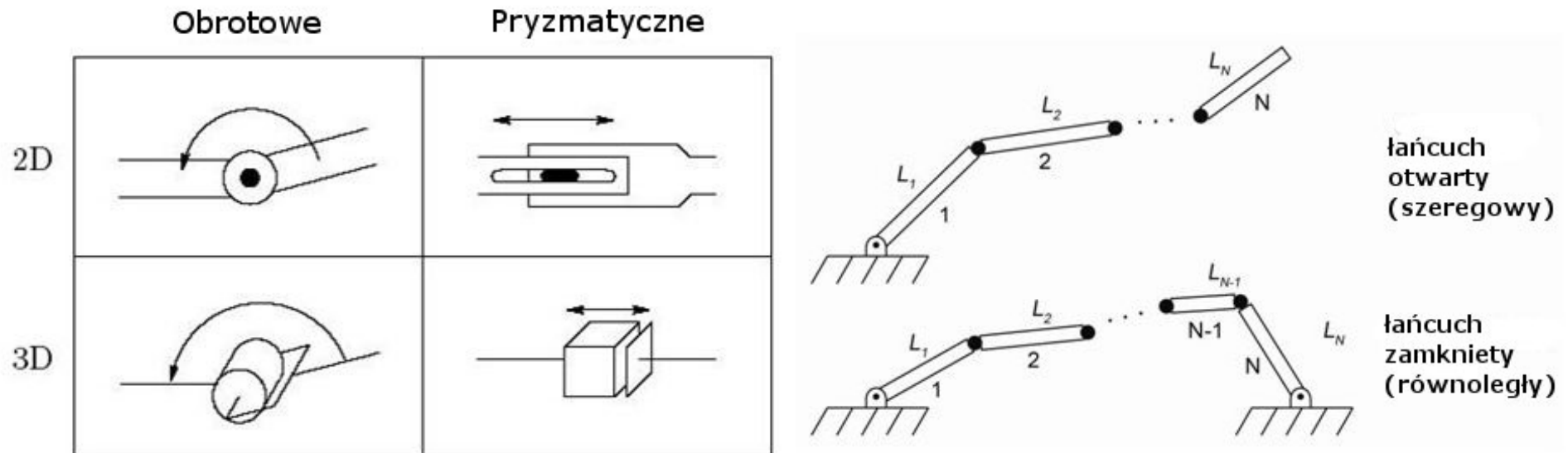
- Duża precyzja i zadania powtarzalne
 - Zbieranie i sortowanie, malowanie, itp.
- Środowiska niebezpieczne

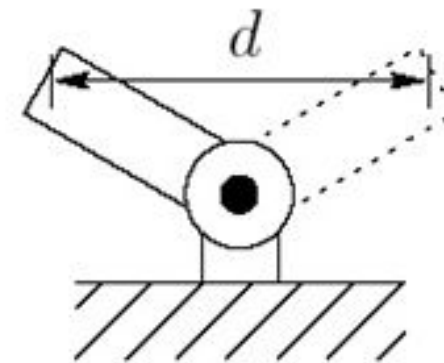
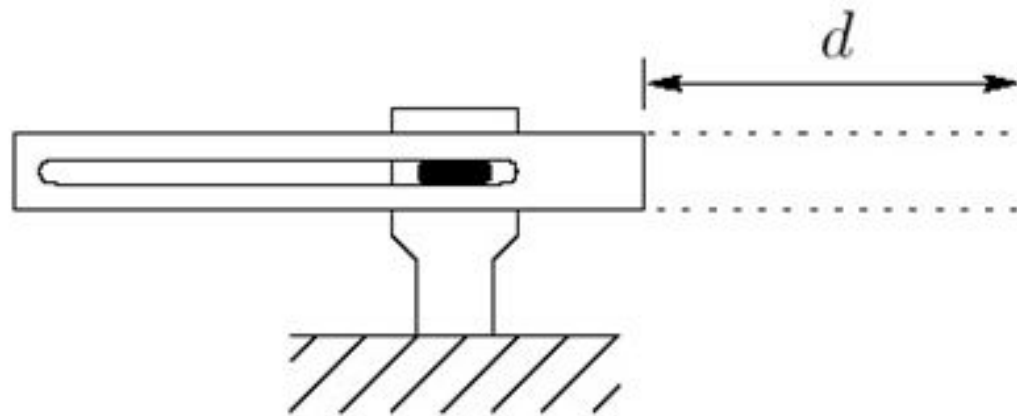




Reprezentacje

- Przez większość kursu, będziemy rozważać manipulatory jako otwarte lub zamknięte łańcuchy kinematyczne członów i przegubów
 - Dwa typy przegubów: obrotowe (θ) i pryzmatyczne (d)





Dla tego samego zakresu ruchu można zrobić człon obrotowy dużo mniejszy niż człon liniowy.

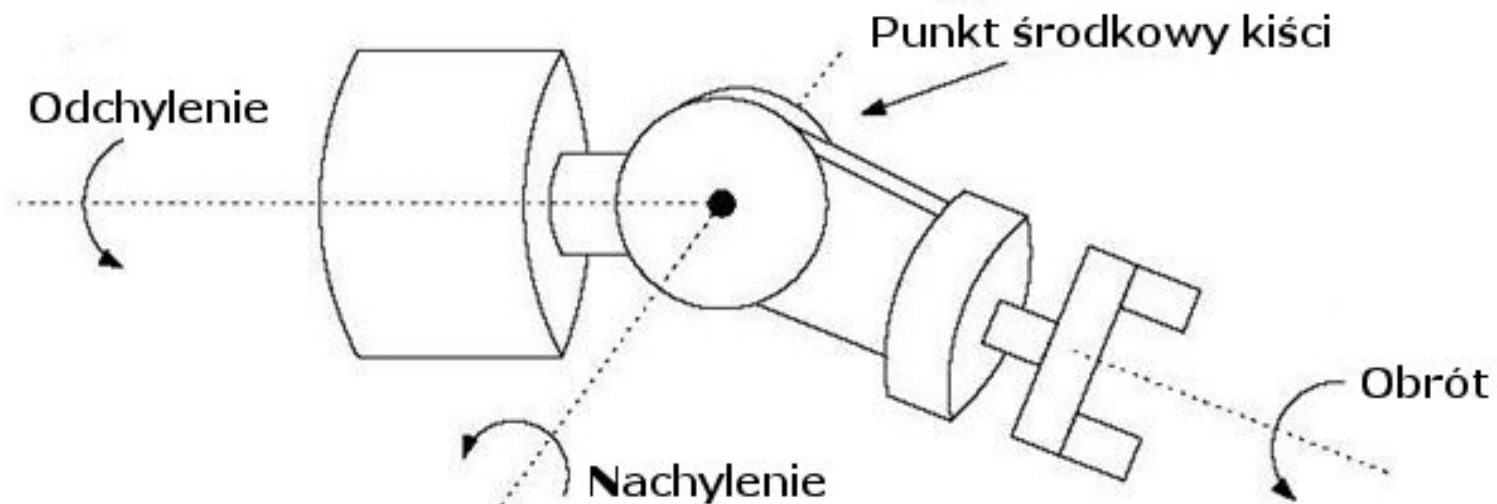


Definicje

- Końcówka robocza/narzędzie
 - Urządzenie pozostające w bezpośrednim kontakcie ze środowiskiem; zazwyczaj bardzo zależne od problemu.
- Konfiguracja
 - kompletna specyfikacja każdego punktu manipulatora
 - zbiór wszystkich możliwych konfiguracji stanowi *przestrzeń konfiguracyjną*
 - dla członów sztywnych wystarczy wyspecyfikować przestrzeń konfiguracyjną przez kąty przegubów $q = [q_1 \ q_2 \ \dots \ q_n]^T$
- Przestrzeń stanów
 - Bieżąca konfiguracja (pozycje przegubów q) i prędkości \dot{q}
- Przestrzeń robocza
 - Przestrzeń osiągalna przez końcówkę manipulacyjną
 - Przestrzeń osiągalna
 - Przestrzeń manipulacyjna

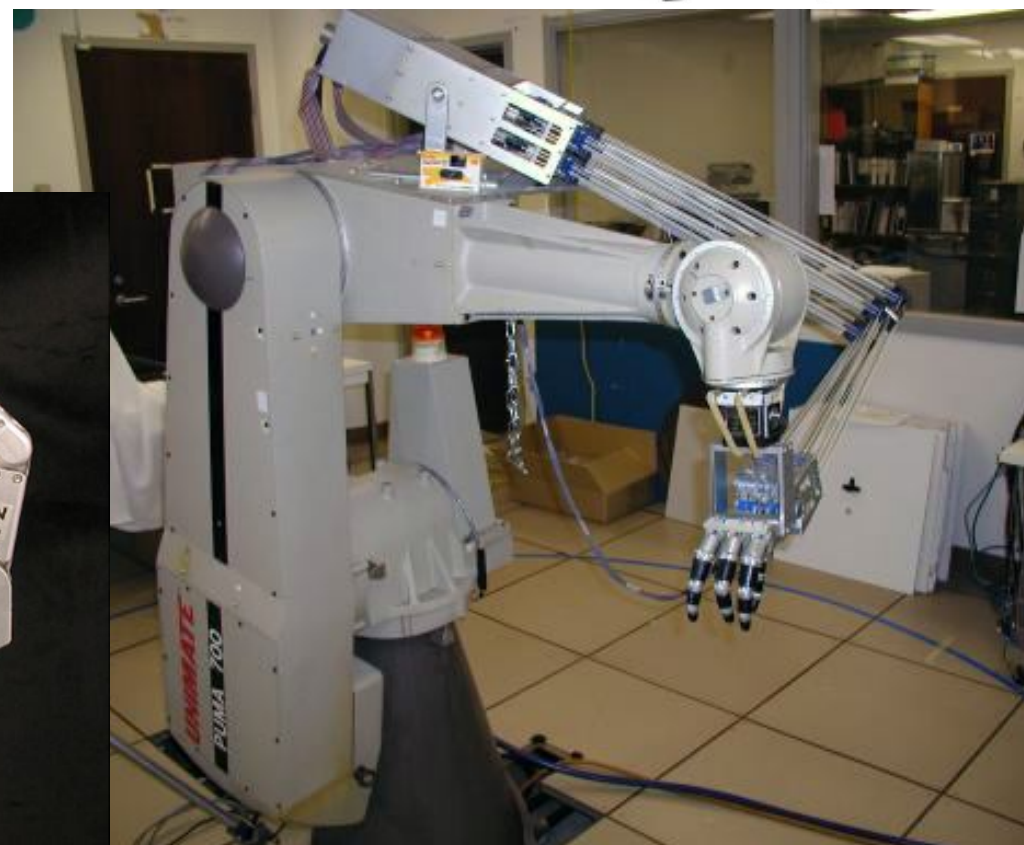
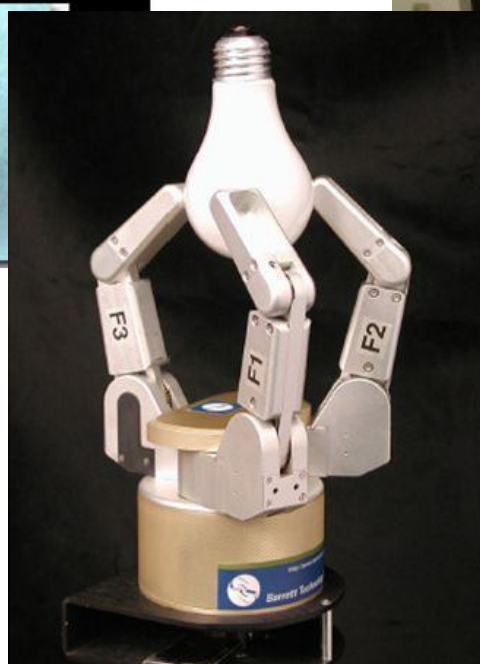
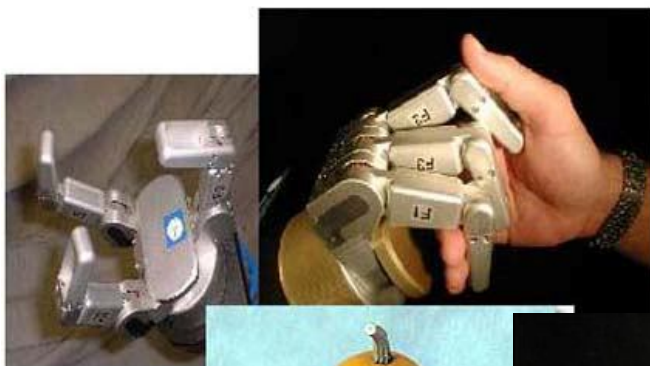
Najczęstsze konfiguracje: kiście

- Wiele manipulatorów będzie sekwencyjnym połączeniem członów i przegubów tworzących „ramię” z wieloma stopniami swobody skupionymi w „kiści”



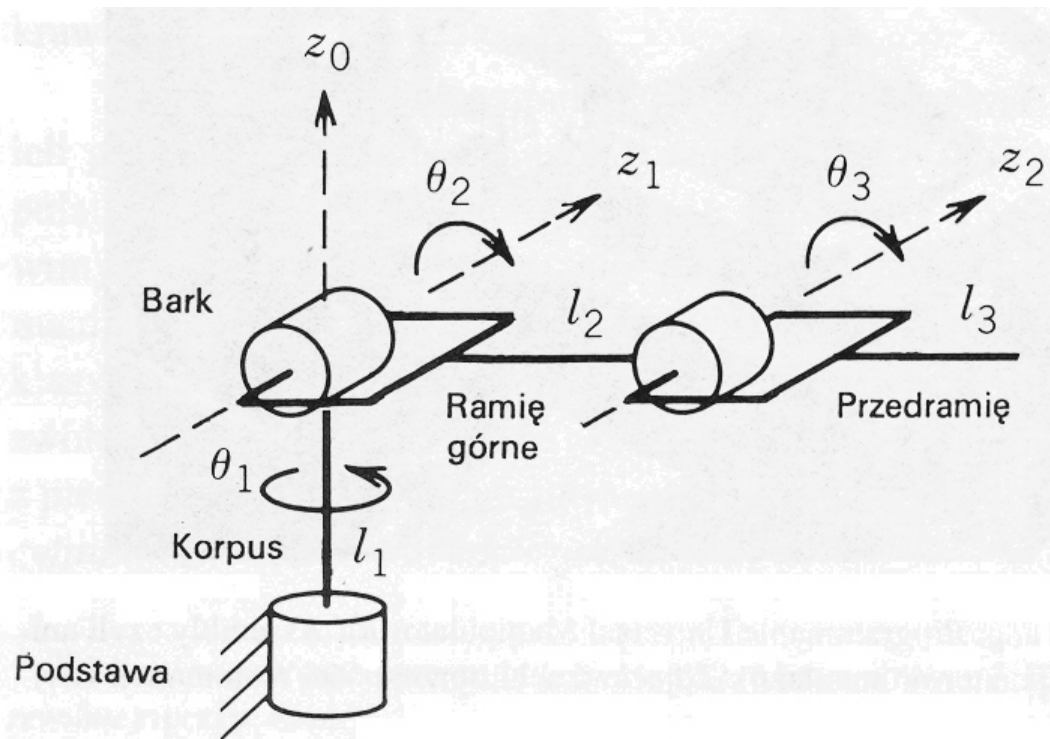
Przykład końcówki roboczej: Chwytaکی

- Antropomorficzne lub zależne od zadania
 - Sterowanie siłą a pozycyjne

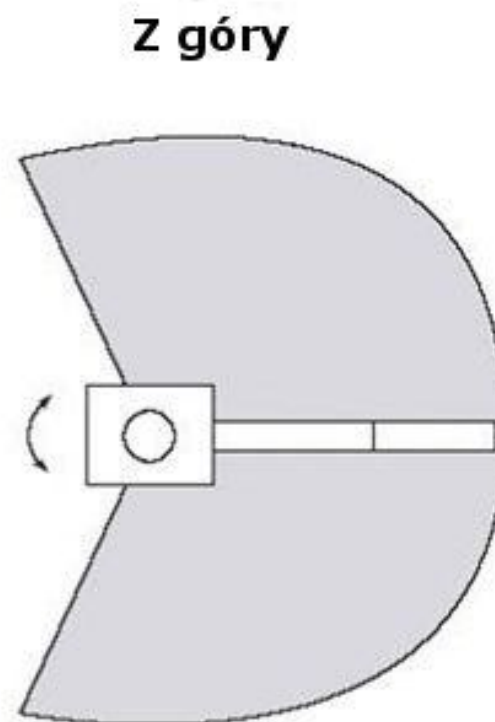
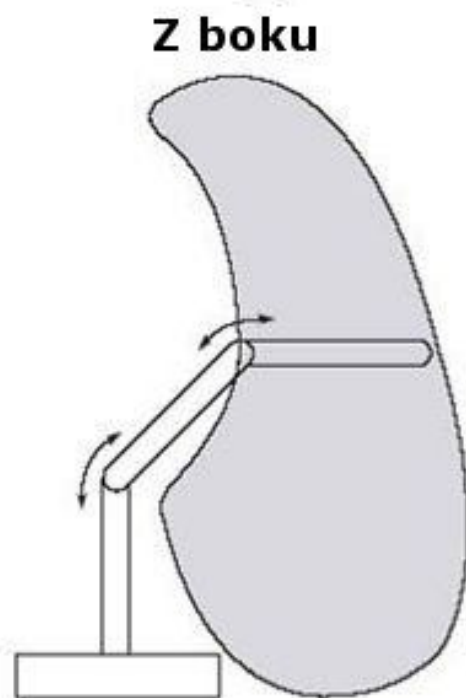


Najczęstsze konfiguracje: manipulator z łokciem

- Ramię antropomorficzne: ABB IRB1400
- Bardzo podobne do ramienia na laboratorium (RRR)

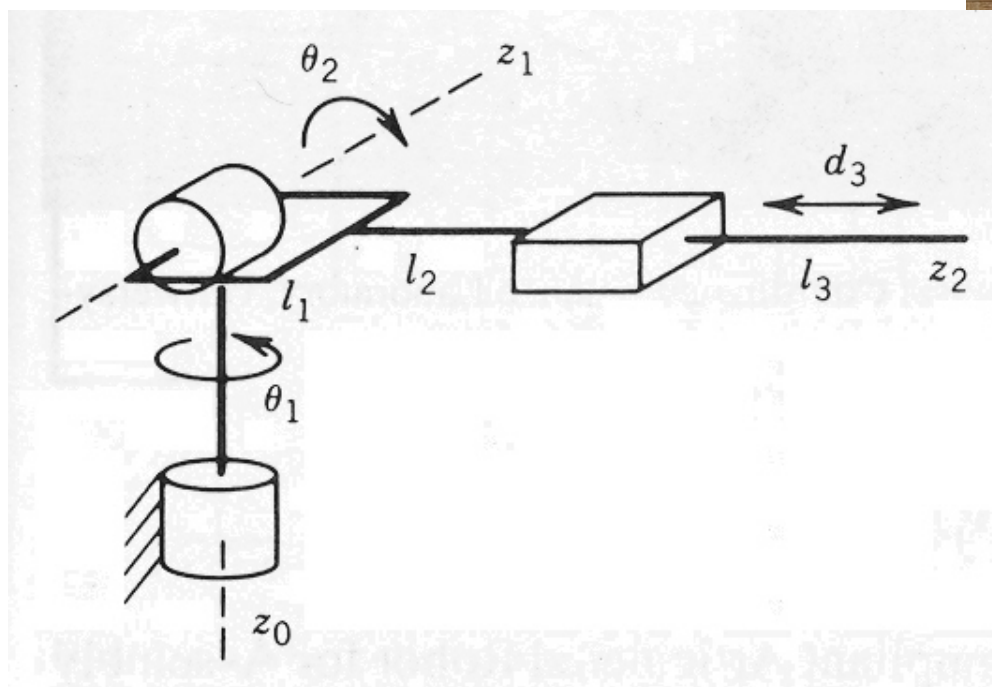


Przestrzeń robocza: manipulator z łokciem

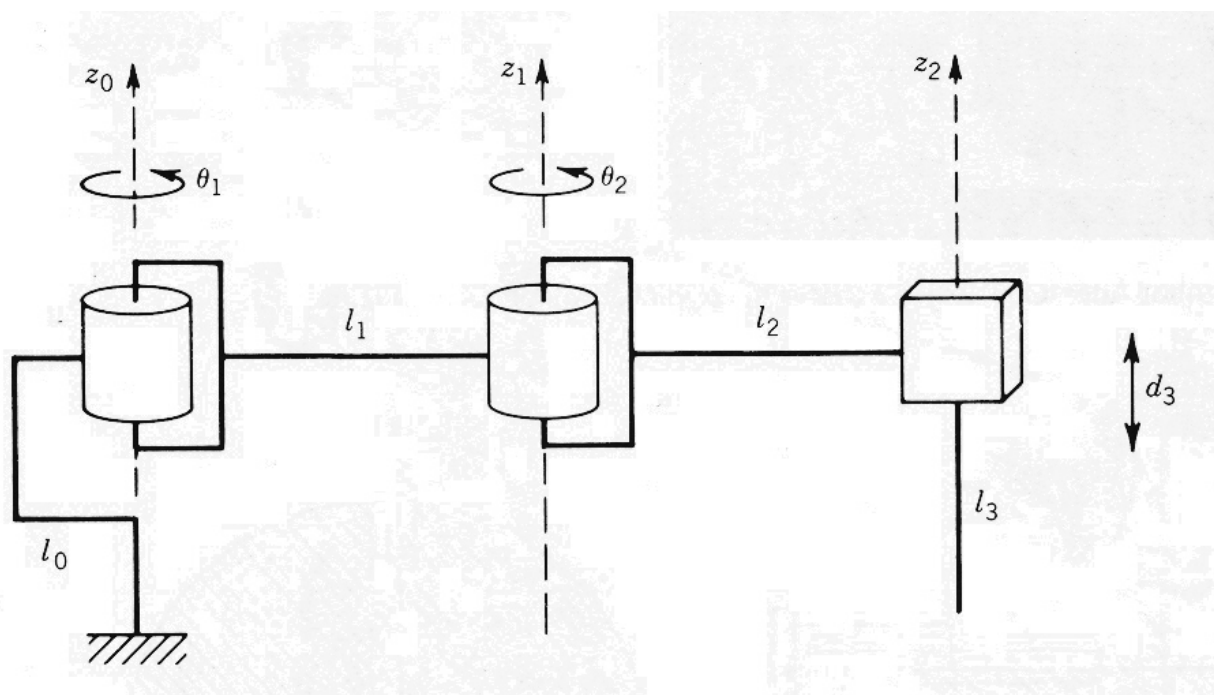


Najczęstsze konfiguracje: ramię stanfordzkie (RRP)

- Manipulator sferyczny (przestrzeń robocza tworzy zbiór koncentrycznych sfer)



Najczęstsze konfiguracje: SCARA (RRP)



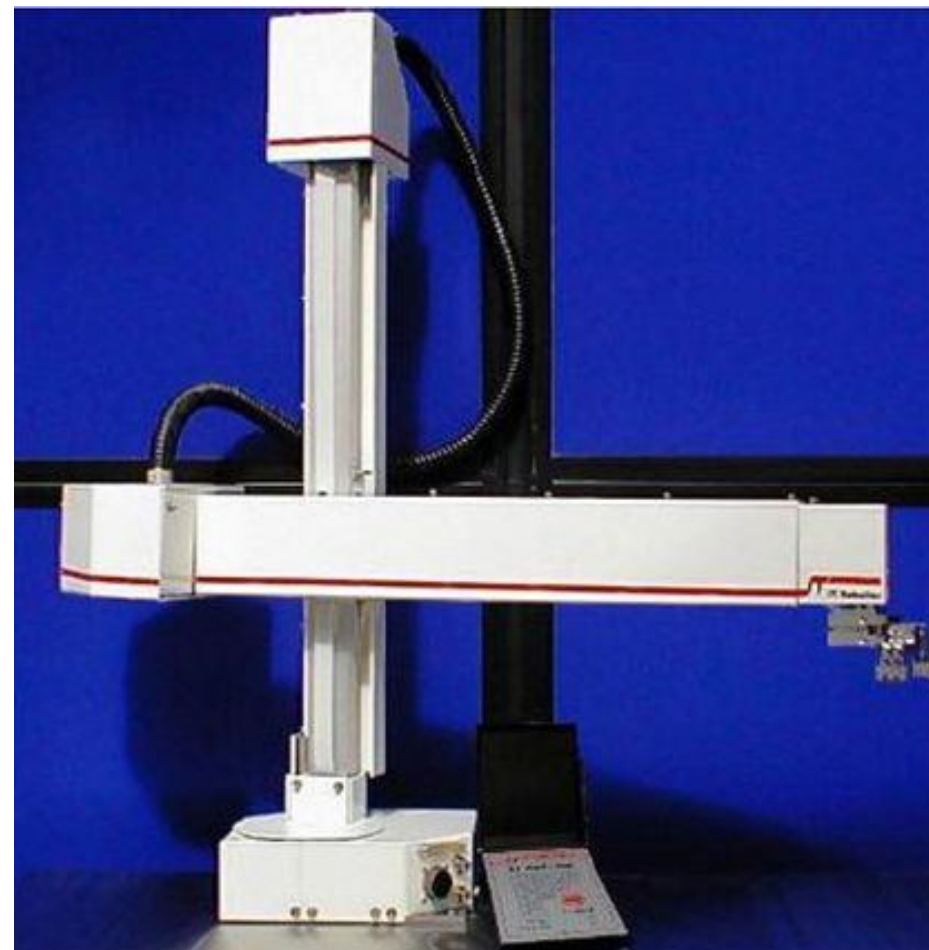
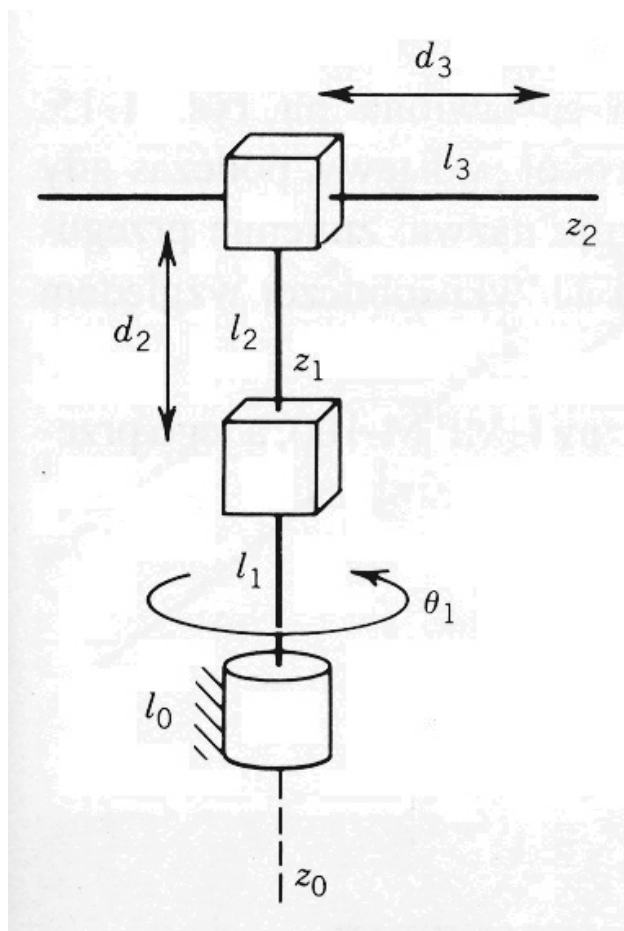
Adept Cobra s600



Najczęstsze konfiguracje: robot cylindryczny (RPP)

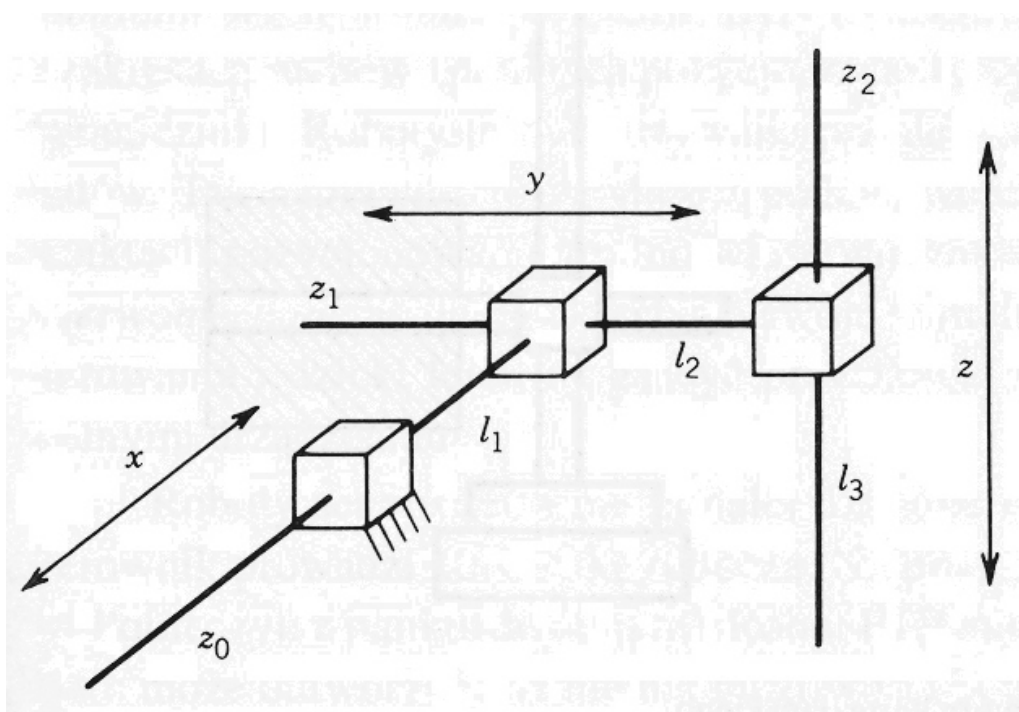
- Przestrzeń robocza stanowi walec

Seiko RT3300



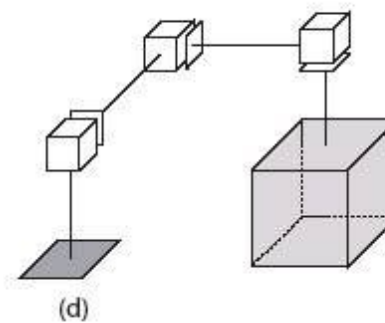
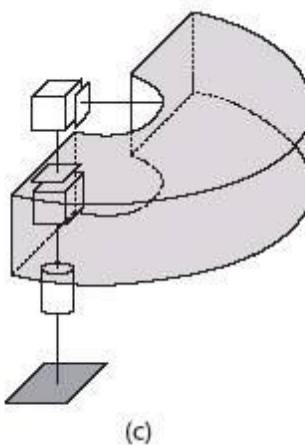
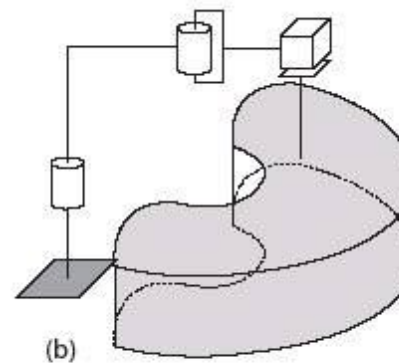
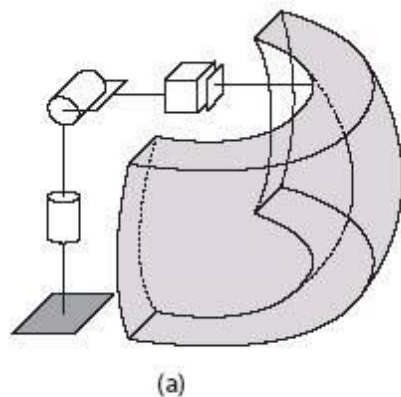
Najczęstsze konfiguracje: robot kartezyjski (PPP)

- Zwiększona sztywność struktury, wyższa precyzja
 - Operacje zbierania i sortowania



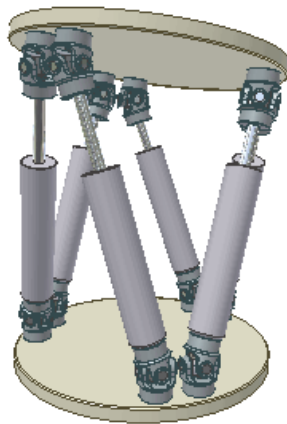
Porównanie przestrzeni roboczych

- (a) sferyczna
- (b) SCARA
- (c) cylindryczna
- (d) kartezjańska



Manipulatory równoległe

- Niektóre z członów będą tworzyć łańcuch zamknięty z podłożem
- Zalety:
 - Napędy mogą być proksymalne: o mniejszej mocy, wyższym paśmie, prostsze do sterowania
- Wady:
 - Ogólnie mniej ruchu, kinematyka może stanowić wyzwanie



Platforma Stewarta (6DOF)

IRB 6400

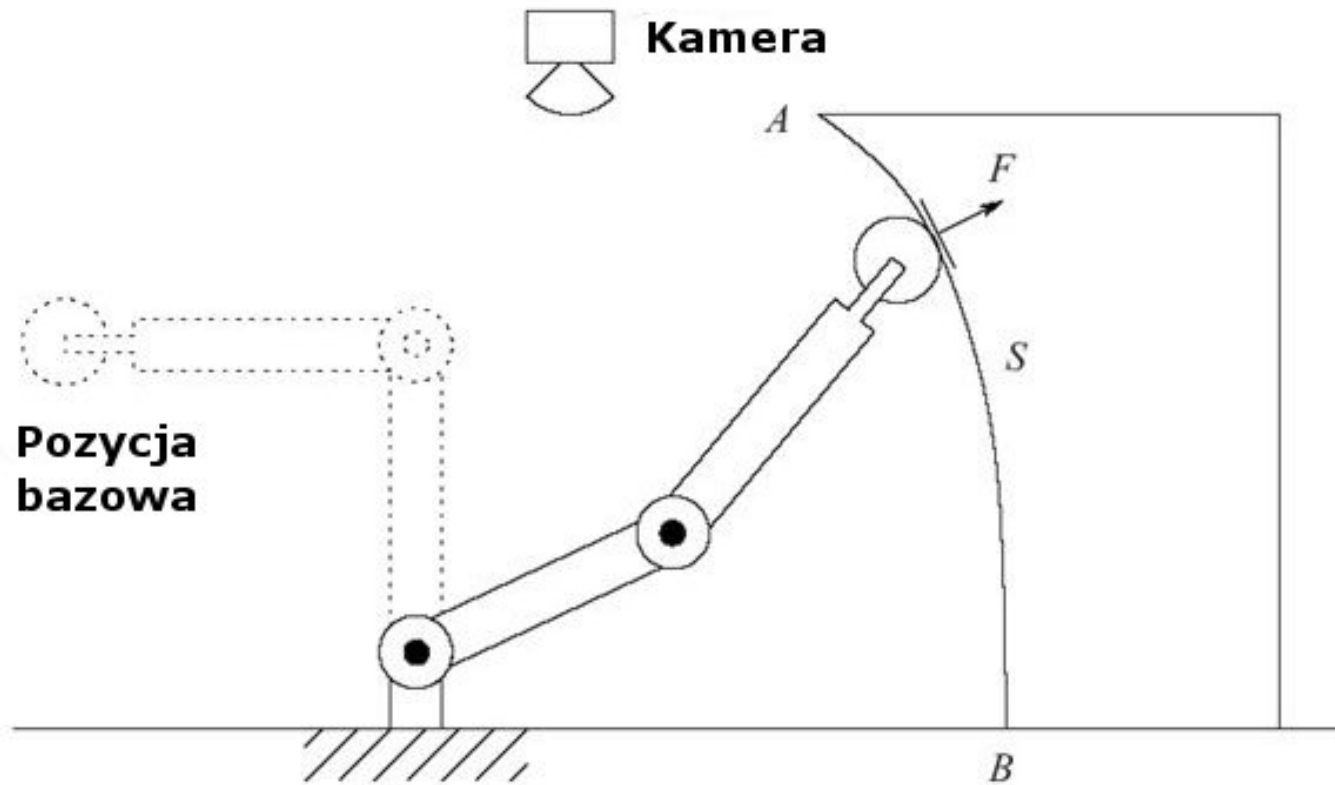


IRB 940



Przykład: sterowanie robotem planarnym

- Przesunąć się z pozycji bazowej, podążając ścieżką AB ze stałą siłą docisku F , opierając się na sprzężeniu wizyjnym



Układy współrzędnych i kinematyka prosta

- Trzy układy współrzędnych: ① ② ③

- Pozycje:

$$\begin{bmatrix} x_1 \\ y_1 \end{bmatrix} = \begin{bmatrix} a_1 \cos(\theta_1) \\ a_1 \sin(\theta_1) \end{bmatrix}$$

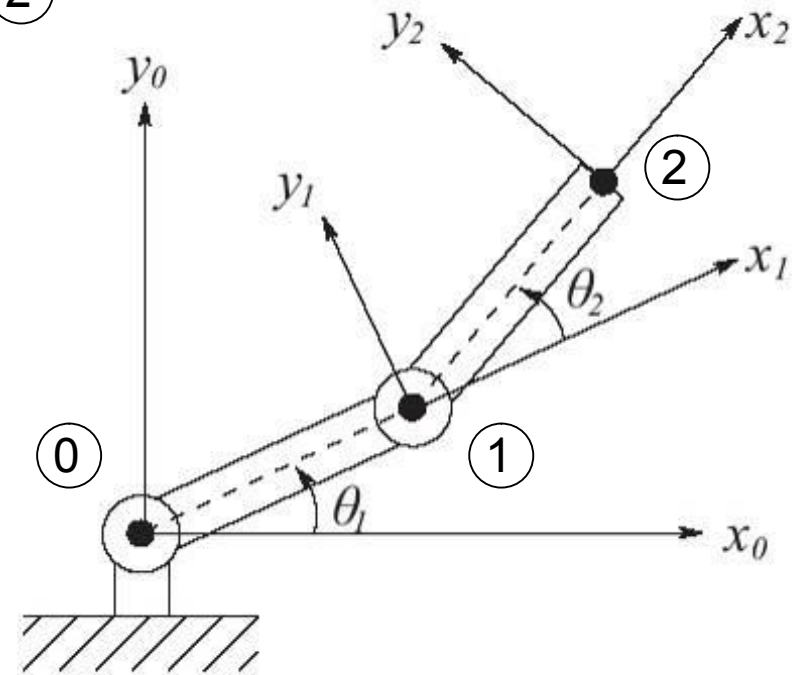
$$\begin{bmatrix} x_2 \\ y_2 \end{bmatrix} = \begin{bmatrix} a_1 \cos(\theta_1) + a_2 \cos(\theta_1 + \theta_2) \\ a_1 \sin(\theta_1) + a_2 \sin(\theta_1 + \theta_2) \end{bmatrix} \equiv \begin{bmatrix} x \\ y \end{bmatrix}_t$$

- Orientacja układu narzędzia:

$$\hat{x}_0 = \begin{bmatrix} 1 \\ 0 \end{bmatrix}, \hat{y}_0 = \begin{bmatrix} 0 \\ 1 \end{bmatrix}$$

$$\hat{x}_2 = \begin{bmatrix} \cos(\theta_1 + \theta_2) \\ \sin(\theta_1 + \theta_2) \end{bmatrix}, \hat{y}_2 = \begin{bmatrix} -\sin(\theta_1 + \theta_2) \\ \cos(\theta_1 + \theta_2) \end{bmatrix}$$

$$R_2^0 = \begin{bmatrix} \hat{x}_2 \cdot \hat{x}_0 & \hat{y}_2 \cdot \hat{x}_0 \\ \hat{x}_2 \cdot \hat{y}_0 & \hat{y}_2 \cdot \hat{y}_0 \end{bmatrix} = \begin{bmatrix} \cos(\theta_1 + \theta_2) & -\sin(\theta_1 + \theta_2) \\ \sin(\theta_1 + \theta_2) & \cos(\theta_1 + \theta_2) \end{bmatrix}$$



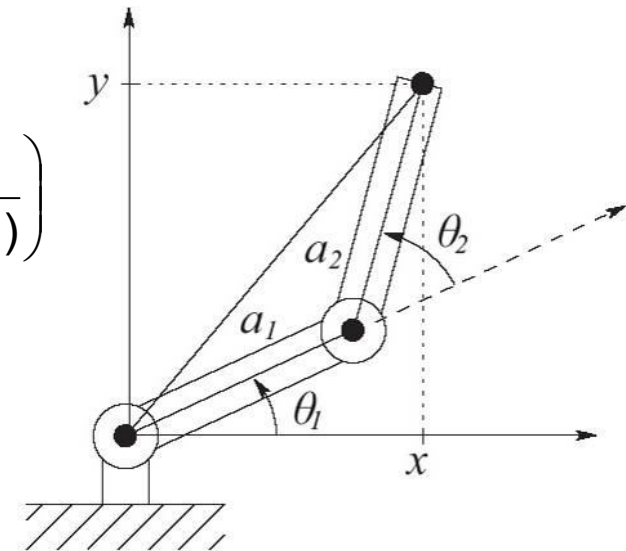
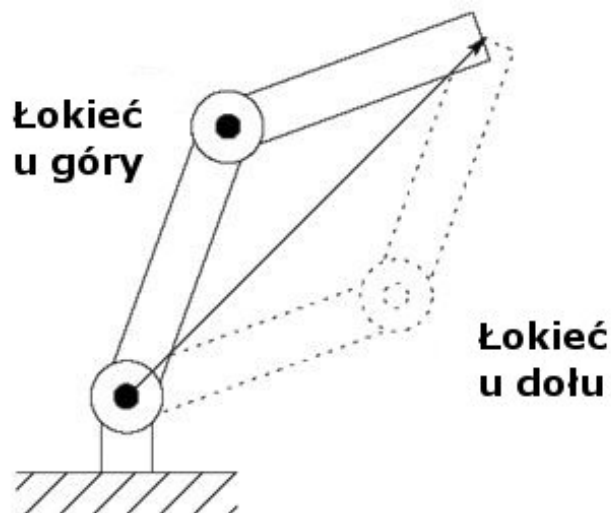
Kinematyka odwrotna

- Wyznaczyć kąty przegubów dla zadanej pozycji narzędzia

$$\cos(\theta_2) = \frac{x_t^2 + y_t^2 - a_1^2 - a_2^2}{2a_1a_2} \equiv D \Rightarrow \sin(\theta_2) = \pm\sqrt{1-D^2}$$

$$\theta_2 = \tan^{-1}\left(\pm \frac{\sqrt{1-D^2}}{D}\right) \quad \theta_1 = \tan^{-1}\left(\frac{y}{x}\right) - \tan^{-1}\left(\frac{a_2 \sin(\theta_2)}{a_1 + a_2 \cos(\theta_2)}\right)$$

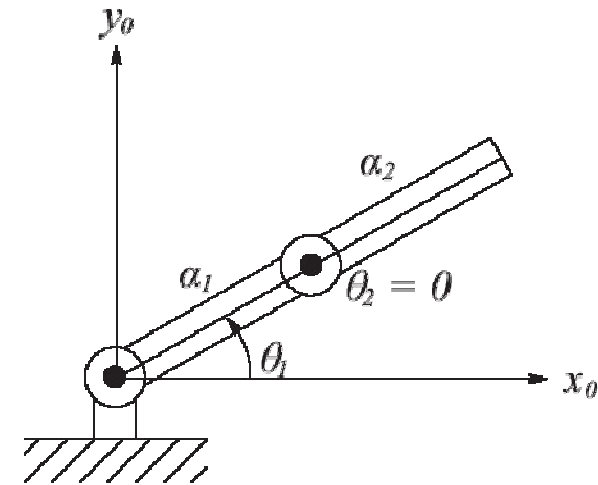
- Dwa rozwiązania!: łokieć u góry i łokieć u dołu



Kinematyka prędkości: jacobian

- Przestrzeń stanów obejmuje prędkość:

$$\begin{aligned} \begin{bmatrix} \dot{x}_2 \\ \dot{y}_2 \end{bmatrix} &= \begin{bmatrix} -a_1 \sin(\theta_1) \dot{\theta}_1 - a_2 \sin(\theta_1 + \theta_2) (\dot{\theta}_1 + \dot{\theta}_2) \\ a_1 \cos(\theta_1) \dot{\theta}_1 + a_2 \cos(\theta_1 + \theta_2) (\dot{\theta}_1 + \dot{\theta}_2) \end{bmatrix} \\ &= \begin{bmatrix} -a_1 \sin(\theta_1) - a_2 \sin(\theta_1 + \theta_2) & -a_2 \sin(\theta_1 + \theta_2) \\ a_1 \cos(\theta_1) + a_2 \cos(\theta_1 + \theta_2) & a_2 \cos(\theta_1 + \theta_2) \end{bmatrix} \begin{bmatrix} \dot{\theta}_1 \\ \dot{\theta}_2 \end{bmatrix} \\ &= J \dot{\mathbf{q}} \end{aligned}$$



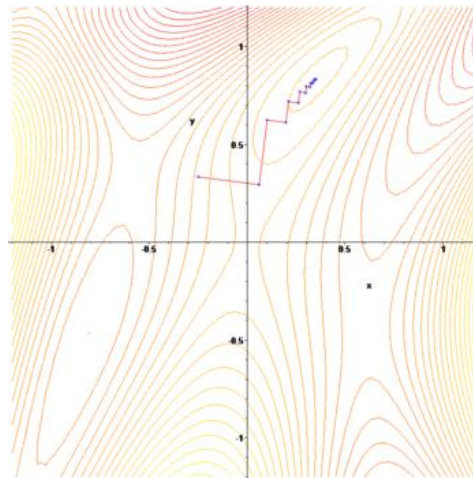
- Odwrotność jacobianu daje prędkości przegubowe

$$\begin{aligned} \dot{\mathbf{q}} &= J^{-1} \dot{\mathbf{x}} \\ &= \frac{1}{a_1 a_2 \sin(\theta_2)} \begin{bmatrix} a_2 \cos(\theta_1 + \theta_2) & a_2 \sin(\theta_1 + \theta_2) \\ -a_1 \cos(\theta_1) - a_2 \cos(\theta_1 + \theta_2) & -a_1 \sin(\theta_1) - a_1 \sin(\theta_1 + \theta_2) \end{bmatrix} \begin{bmatrix} \dot{x} \\ \dot{y} \end{bmatrix} \end{aligned}$$

- Odwrotność nie istnieje gdy $\theta_2 = 0$ lub π , co nazywa się konfiguracją osobliwą lub osobliwością

Planowanie ścieżki

- Należy przemieścić narzędzie z pozycji A w pozycję B unikając osobliwości i kolizji.
 - To generuje ścieżkę w przestrzeni roboczej, którą można wykorzystać do określenia kątów przegubów w funkcji czasu (zazwyczaj wielomiany).
 - Wiele metod, np. pola potencjałów.



- Równie dobrze może odnosić się do mobilnych agentów.

Sterowanie przegubami

- Gdy wygeneruje się ścieżkę, można wyznaczyć pożądaną prędkość narzędzia wzdłuż niej
 - Użyj kinematyki odwrotnej i jacobianu aby wyznaczyć pożądane trajektorie przegubów

